

сплошными линиями ограничен диапазон температур, получающихся из расчета по методике [3].

Таким образом, в настоящей работе исследовано влияние нестационарных электромагнитных эффектов на возможность и достоверность измерения температуры термопарным методом в условиях импульсного деформирования; установлен эффект экранировки центральной области термопары краевой зоной; измерена температура в меди при давлениях от 15 до 39 ГПа.

Авторы искренне признательны В. М. Титову за полезное обсуждение и благодарят В. Н. Зеленого и М. А. Федотенко за помощь в экспериментах.

#### ЛИТЕРАТУРА

1. Ишуткин С. Н., Кузьмин Г. Е., Пай В. В. К термопарным измерениям температуры при ударном сжатии металлов // ФГВ.— 1986.— № 5.
2. Bloomquist D. D., Duvall G. E., Dick J. J. Electrical response of a bimetallic junction to shock compression // J. Appl. Phys.— 1979.— V. 50, N 7.
3. McQueen R. G., Marsh S. P. Equation of state for nineteen metallic elements from shock-wave measurements to two megabars // J. Appl. Phys.— 1960.— V. 31, N 7.
4. Ишуткин С. Н. Измерение температуры ударного сжатия металла термопарным методом // ФГВ.— 1989.— № 1.

г. Новосибирск

Поступила 20/VII 1989 г.

УДК 532.546

С. П. Глушко, В. В. Кадет, Н. С. Ростовский

#### МЕТОД РТУТНОЙ ЭЛЕКТРОПОРОМЕТРИИ

Функция плотности распределения капилляров по радиусам  $f(r)$ — одна из основных характеристик пористой среды, определяющих ее фильтрационные свойства. Среди известных методов нахождения  $f(r)$  наиболее широко используется метод ртутной порометрии [1]. В [2] отмечено его несовершенство и предложен альтернативный подход — метод электропорометрии. Последний, в свою очередь, также не свободен от недостатков. Во-первых, это имманентная погрешность метода, связанная с использованием модели эффективной среды, которая является предельным случаем точной перколяционной модели и хорошо описывает свойства среды вдали от порога перколяции, но вносит погрешность  $\sim 20\%$  в расчеты параметров протекания непосредственно вблизи него [3]. Это ведет к сужению интервала радиусов, в котором  $f(r)$  определяется достаточно надежно. Во-вторых, для получения представительной экспериментальной информации по исследуемому образцу его вертикальный размер должен быть достаточно велик ( $\sim 1$  м), что многократно превышает размеры реальных ядер исследуемых пород.

Преодоление этих недостатков возможно на пути создания комбинированного метода, позволяющего объединить положительные стороны обоих указанных выше подходов, — метода ртутной электропорометрии. Идея предлагаемого метода состоит в получении экспериментальной информации об изменении электропроводности образца при заполнении его несмачивающей электропроводящей жидкостью одновременно с измерением давления закачки и последующей обработке этой информации с целью нахождения  $f(r)$ . В данной работе построен и обоснован алгоритм получения функции  $f(r)$  в рамках такого подхода и на примере расчетов модельных задач продемонстрирована его эффективность.

Исследование изменения электропроводности образца по мере его насыщения, в отличие от определения изменения объема закачанной под давлением ртути в традиционном методе ртутной порометрии, позволяет получить необходимую информацию непосредственно о системе поровых проводящих каналов, а не об интегральной системе пустот в материале [2]. В то же время использование несмачивающей проводящей жидкости, закачиваемой в среду под давлением, снимает проблему размеров образца. В качестве такой жидкости наиболее естественно брать ртуть. Что касается методики математической обработки экспериментальных данных, то она может быть усовершенствована по сравнению с [2] за

счет использования собственно перколяционной модели процессов переноса [4] вместо аппроксимационной модели эффективной среды.

Схема экспериментального определения удельной электропроводности среды  $\sigma$  состоит в следующем. Образец с площадью поперечного сечения  $S$  и высотой  $l$  помещают в емкость с ртутью, которую нагнетают в образец под давлением  $P$ . Пропуская через образец ток  $I$  и измеряя при этом падение напряжения  $U$  на нем, находят его сопротивление  $R = U/I$  и удельную электропроводность  $\sigma = lS^{-1}R^{-1}$ . Проводя серию таких замеров при различных давлениях  $\{P_i\}$  и ставя им в соответствие на основании формулы Лапласа минимальный радиус капилляров  $r_i = 2\gamma \cos \theta / P_i$ , в которые может при этом проникать ртуть, получим связь  $\sigma(r_i)$ . Здесь  $\gamma$  — коэффициент поверхностного натяжения на границе ртути с воздухом;  $\theta$  — угол смачивания ртутью поверхности поровых каналов, а зависимость  $\sigma(r_i)$  может быть либо представлена в виде интерполяционной кривой, либо затабулирована с целью последующего выполнения всех необходимых численных операций на ЭВМ.

В соответствии с [4] значения  $\sigma(r_i)$  могут быть рассчитаны теоретически по известной  $f(r)$ :

$$(1) \quad \sigma(r_i) = \frac{A \int_{r_i}^{r_c} \left[ \int_x^{r_c} f(r) dr \right]^v \int_x^{\infty} f(r) dr f(x) dx}{\int_x^{\infty} f(r) r^{-2} dr},$$

где  $A$  — численный коэффициент [4];  $r_c$  — критический радиус протекания, определяемый из условия

$$(2) \quad \int_{r_c}^{\infty} f(r) dr = p_c$$

( $p_c$  — порог перколяции для выбранной решетки, моделирующей поровое пространство,  $v$  — индекс радиуса корреляции [4, 5]).

Если функцию  $\sigma(r_i)$  считать известной, а  $f(r)$  — неизвестной, то (1) есть нелинейное интегральное уравнение относительно  $f(r)$ . Продифференцировав его один раз по  $r_i$  и проведя очевидные преобразования, имеем

$$(3) \quad f(r_i) = - \frac{\frac{d\sigma}{dr_i} \int_{r_i}^{\infty} f(r) r^{-2} dr}{\left[ \int_{r_i}^{r_c} f(r) dr \right]^v \left[ \int_{r_i}^{\infty} f(r) dr \right]}$$

или, вводя обозначения

$$(4) \quad \lambda(r_i) = - \frac{d\sigma/dr_i}{A} \left[ \int_{r_i}^{r_c} f(r) dr \right]^{-v} \left[ \int_{r_i}^{\infty} f(r) dr \right]^{-1},$$

$$z(x) = \int_x^{\infty} f(r) r^{-2} dr, \quad z_c = z(r_c), \quad \varphi(r_i) = z_c \lambda(r_i),$$

получим нелинейное неоднородное уравнение Вольтерра второго рода в стандартной форме

$$(5) \quad f(r_i) = \lambda(r_i) \int_{r_i}^{r_c} f(r) r^{-2} dr + \varphi(r_i).$$

Исходя как из физического смысла перколяционной модели процессов переноса в неоднородной среде, так и непосредственно из анализа соотно-

шения (3), легко видеть, что оно, а следовательно, и (5), справедливы в области  $0 < r_i < r_c$ .

При измерении  $\sigma(r_i)$  могут быть получены участки  $r_i < r < r_i + \Delta_i$ , где электропроводность среды не меняется, т. е.  $d\sigma(r_i)/dr_i = 0$ . Если  $\Delta_i$  не включают  $r_c$ , то в этих интервалах  $\lambda(r_i) = \varphi(r_i) = 0$  что, согласно (5), приводит к  $f(r_i) = 0$  при  $r_i < r < r_i + \Delta_i$ . Значит, в среде нет капилляров с  $r_i \in \Delta_i$ . Если же некий  $\Delta_i$  включает участок с  $r_c$ , то, подставляя  $\lambda(r_i) = \varphi(r_i) = 0$  в (5), также получаем  $f(r_i) = 0$ . Поскольку в (4) интеграл от  $f(r)$  стоит в знаменателе, формально возникает неопределенность типа нуль на нуль. Однако равенство  $d\sigma/dr_i = f(r_i) = 0$  вблизи первоначально введенного  $r_c$  лишь означает отсутствие капилляров с  $r_i$ , ближайшими к  $r_c$ . Поэтому достаточно уменьшить  $r_c$  вплоть до ближайших  $r_i$ , при которых  $d\sigma/dr_i \neq 0$ , и принять его за новое  $r_c$ , что не меняет ни смысла, ни содержания всех формул и позволяет избавиться от формальной неопределенности. Такие случаи встречаются лишь в средах, обладающих функцией  $f(r)$  с двумя глобальными максимумами, т. е. имеющих два различных вида пористости (например, в средах с блоковой и межблоковой пористостями или в кавернозно-трещиноватых породах).

Учитывая новое определение  $r_c$ , оценим  $\lambda(r_i)$  и  $\varphi(r_i)$ .

Из (1) и (4) с учетом ограничения  $0 \leq f(r) \leq M < \infty$

$$(6) \quad \begin{aligned} |d\sigma(r_i)/dr_i| &\leq A(1 - p_c)^v M/z_c, \\ |\lambda(r_i)| &\leq \frac{M}{z_c p_c} \left( \frac{1 - p_c}{N_c \delta} \right)^v, \quad |\varphi(r_i)| \leq \frac{M}{p_c} \left( \frac{1 - p_c}{N_c \delta} \right)^v. \end{aligned}$$

Здесь  $N_c$  — среднее значение  $f(r)$  на первом участке  $r_c - r_1$  ( $r_c - r_1 \equiv \delta$ ).

Поскольку для интегрального уравнения Вольтерра второго рода принцип сжимающих отображений справедлив при любых конечных  $\lambda$  и  $\varphi$  [6], соотношения (6) дают возможность положительно решить вопросы о существовании и единственности решения уравнения (5), а также о правомерности использования для его нахождения метода последовательных приближений с произвольной начальной функцией  $f^{(0)}(r)$ .

Тогда, имея в качестве  $n$ -го приближения нормированную функцию  $f^{(n)}(r)$ , для получения следующего приближения вначале по (5) рассчитываем его ненормированное значение

$$(7) \quad f_0^{(n+1)}(r_i) = \lambda^{(n)}(r_i) \int_{r_i}^{r_c} f^{(n)}(r) r^{-2} dr + \varphi^{(n)}(r),$$

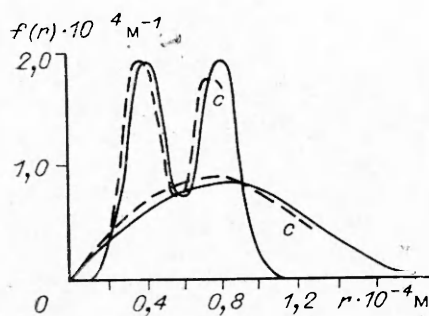
а затем нормируем

$$(8) \quad f^{(n+1)}(r) = \frac{f_0^{(n+1)}(r)}{C^{(n+1)}}, \quad C^{(n+1)} = \left( \int_0^{\infty} f_0^{(n+1)}(r) dr \right)^{-1}.$$

Использование соотношений (2), (4), (7), (8), где функция  $\sigma(r_i)$  считается известной из эксперимента, позволяет найти  $f(r)$  в интервале  $0 \leq r \leq r_c - \delta$ . При  $r > r_c - \delta$  функция  $f(r)$  в рамках данного подхода непосредственно не определяется, так как «сканирование давлением» становится невозможным из-за разрыва бесконечного кластера. Необходимы какие-либо априорные предположения о поведении  $f(r)$  в этой области, где в подавляющем большинстве случаев она монотонно убывает. Можно принять, что при  $r > r_c - \delta$   $f(r) \sim r^{-k}$ , где  $k > 1$ . Тогда, например, для случая  $k = 2$  с учетом (2) запишем

$$(9) \quad f(r) = p_c (r_c - \delta) r^{-2}, \quad r_c - \delta < r < \infty.$$

Соответственно и величина  $z$ , также определенная в области  $r - \delta < r < \infty$ , должна рассчитываться на основе соотношения типа (9). В приведенном примере  $z_c = (p_c/3)(r_c - \delta)^{-2}$ .



Таким образом, соотношения (2), (4), (7)–(9) представляют собой замкнутый алгоритм определения  $f(r)$  по известной из эксперимента зависимости  $\sigma(r_i)$ . Для проверки его работоспособности проведены модельные расчеты на ЭВМ. В качестве исходных данных использованы зависимости  $\sigma(r_i)$ , полученные прямыми расчетами по формуле (1) для заданных  $f_i(r)$ . Затем эти функции восстанавливались посредством описанной итерационной процедуры,

и найденные распределения  $f(r)$  сравнивались с исходными  $f_i(r)$ .

За нулевое приближение во всех случаях принималась функция  $f^{(0)}(r) = \text{const}$ . Расчеты показали, что итерационный процесс достаточно быстро сходится — число итераций до установления  $5 \div 10$ . При правильном выборе характера зависимости  $f(r)$  в (9) совпадение восстановленной и исходной  $f(r)$  очень хорошее ( $\sim 0,1\%$ ). Внесение значительной погрешности в (9), и, следовательно, в величину  $z_c$  приводит к искажению поведения  $f(r)$  вблизи  $r_c$  ( $\leq 50\%$ ). Однако в целом функция  $f(r)$  удовлетворительно восстанавливается и в этом случае, причем наиболее точно — в области малых  $r$ , что особенно важно в целом ряде приложений.

В качестве иллюстрации эффективности метода на рисунке представлены результаты восстановления для двух случаев: «одногорбого»

$$f_i(r) = (2r/r_0^2) \exp[-(r/r_0)^2] \quad (r_0 = 10^{-4} \text{ м})$$

и указанного выше «двугорбого»

$$f_i(r) = B^{-1} \{ \exp[-(x - x_1)^2/\Sigma^2] + \exp[-(x - x_2)^2/\Sigma^2] \}$$

( $x = r/r_0$ ,  $x_1 = r_1/r_0 = 0,4$ ,  $x_2 = r_2/r_0 = 0,8$ ,  $r_0 = 10^{-4}$  м,  $\Sigma = 0,15$ ,  $B = 2\sqrt{\pi}\Sigma r_0$ ) исходных распределений. В обоих случаях  $f_i(r)$  — сплошная линия, а восстановленные распределения — штриховая. Сопоставление кривых  $f(r)$  проведено на интервале восстановления  $0 \leq r \leq r_c$ . Справа от  $r_c$  функция  $f(r)$  может быть сита в точке  $c$  со степенной зависимостью  $f(r) \sim r^{-k}$ , как отмечалось выше.

#### ЛИТЕРАТУРА

1. Чирков Ю. Г., Черненко А. А. К вопросу об интерпретации результатов ртутной порометрии // Электрохимия. — 1979. — Т. 15, вып. 5.
2. Абдульманов И. Г., Глушко С. П., Кадет В. В., Селяков В. И. Электропорометрический метод восстановления функции распределения капилляров по радиусам // ПМТФ. — 1988. — № 4.
3. Займан Дж. Модели беспорядка. — М.: Мир, 1982.
4. Селяков В. И. Проводимость зернистых и кавернозных сред // Изв. АН СССР. Физика Земли. — 1986. — № 12.
5. Соколов И. М. Размерности и другие геометрические критические показатели в теории протекания // УФН. — 1986. — Т. 150, вып. 2.
6. Арсенин В. Я. Методы математической физики и специальные функции. — М.: Наука, 1984.

г. Москва

Поступила 21/VII 1989 г.

УДК 533.6.011+536.423.4

Ю. Е. Горбачев, В. Ю. Круглов

### КИНЕТИКА ГОМОГЕННОЙ ИЗОТЕРМИЧЕСКОЙ НУКЛЕАЦИИ В РАМКАХ КВАЗИХИМИЧЕСКОЙ МОДЕЛИ

Вопросам анализа кинетики гомогенной конденсации посвящено значительное число работ (см., например, обзор [1]), начало которым положено в [2]. Подавляющее большинство из них использует те или иные модификации подхода, заложенного Бек-